

우슬뿌리 추출물의 Cathepsin B에 대한 저해효과

이가순[†] · 이진일 · 이종국 · 이정 · 김기돈 · 오만진¹
충남농업기술원, ¹충남대학교 식품공학과

Inhibition Effect of *Achyranthes japonica* N. Root Extract on Cathepsin B

Ka-Soon Lee[†], Jin-Il Lee, Jong-Kuk Lee, Jeong Lee, Gi-Don Kim
and Man-Jin Oh¹

Chungnam Agricultural Research and Extension Services, Yesan 340-861, Korea

¹Department of Food Science and Technology, Chungnam National University, Daejeon 305-764, Korea

Abstract

This study was carried out to investigate the cathepsin B inhibition effect by *Achyranthes japonica* N. root extract *in vitro*. The methanol/H₂O(4:1, v/v) extract was fractionated by ethyl acetate(F1), chloroform(F2), chloroform/methanol(3:1, v/v)(F3) and methanol(F4). The yield of F4 in *Achyranthes japonica* N. root was 8.27%. As an index material of *Achyranthes japonica* N. root, 20-hydroxyecdysone was detected by TLC, and HPLC and its content was 0.33%. Three isolates(F1, F3, F4) showed the cathepsin B inhibition activity, and F4 showed the highest inhibition activity among them. In the inhibition activity on cathepsin B, leupeptin, 20-hydroxyecdysone and F4(at the same concentration of 20-hydroxyecdysone) were 92, 88 and 97% on BANA(Na-benzoyl-DL-arginine β-naphthylamide) substrate, and 62, 36 and 67% on CLN(Na-CBZ(carbobenzyloxy)-L-lysine p-nitrophenyl ester HCl) substrate, respectively.

Key words : *Achyranthes japonica* N. root, cathepsin B inhibition effect, 20-hydroxyecdysone

서 론

우슬(*Achyranthes japonica* N.)은 비름과(Amaranthaceae)에 속하는 다년생식물로서 우리나라 각지의 들판이나 길가에 자생되고 있으며 일본과 중국에도 분포하고 있다. 키는 60~150 cm정도 자라고 줄기는 녹자색으로 모난 4각형을 이루며 그 마디 부위는 특별히 굽어 소의 무릎 같은 형태를 이루고 있어 일명 쇠무릎이라고도 한다. 또한 꽃은 양성화로 8월 중순경에 가지 끝에 조 이삭 모양으로 피며 종자는 광택이 있는 다갈색의 포과로 타원형인데 꽂받침에 둘러싸여 있다(1).

우슬(牛膝)의 뿌리에는 oleannolic계 saponin(2)과 steroid 계 inokosterone, ecdysterone(3) 등의 성분이 함유되어 있어

예로부터 귀중한 한약재로 사용하고 있으며 약리효과(4)는 진통작용, 혈압강하작용, 고혈압, 류머티스 및 관절통과 같은 울혈의 치료제, 이뇨 및 강장제 등의 치료 및 민간요법(5,6)으로 널리 사용되어지고 어린순은 나물로 먹기도 한다고 한다. 한편 일본에서는 약리 활성물질과 관련된 연구가 활발하게 진행되고 있는데 강한 알레르기와 항종양 활성을 보였다고 한 바 있다(7).

최근 여러 질병 중에 암, 류머티스 관절염과 노인성 치매 등의 발병이 많이 나타나고 있는데 이는 간, 비장, 폐 등의 여러 조직 세포에 존재하여 생리적 조절작용 및 면역작용에 관여하고 있다는 cathepsin B이라는 세포외막에 존재하는 cysteine계 효소가 과다 출현하게 되면 세포의 기저막을 분해하여 만성적 질환을 일으키며 각종 염증성 질환을 초래하게 된다는 보고가 있다(8-11).

따라서 cysteine계 cathepsin B효소의 과다발현으로 인하여 세포내의 질병발생의 원인 규명 및 치료를 위한 연구가

[†]Corresponding author. E-mail : lkasn@chungnam.net,
Phone : 82-41-330-6297, Fax : 82-41-330-6290

꾸준히 이루어지고 있다(12,13).

Cathepsin B 저해물질의 개발연구로 인체 내의 Urine으로부터 cystatin(14), 난백으로부터 cystatin(15), 이 분리되었으며 토양미생물로부터 leupeptin(16), antipain(17), E-64(18) 등의 저해물질이 개발되는 등 cathepsin B에 대한 저해물질 탐색연구가 이루어지고 있다(19). 이러한 cathepsin B의 과다출현에 의한 질병을 미리 예방하기 위하여 cathepsin B의 저해물질 탐색연구가 생체 내에서나 토양미생물로부터 이루어지고 있는 바이다.

이 연구에서는 우슬뿌리가 예전부터 민간요법으로 관절 염치료에 이용되어오고 있는 바 우슬뿌리의 cathepsin B에 대한 저해효과를 알아보기 위하여 우슬뿌리를 각 용매로 계통분획·분리한 후 그 분획추출물에 대하여 cathepsin B의 활성억제효과를 검토하여 보았다.

재료 및 방법

재료 및 시약

본 실험에 사용한 우슬은 충남 부여군 초촌면에서 2003년도에 재배한 것을 수확하여 세척 건조하여 사용하였다. 효소로 사용한 cathepsin B(EC 3.4.22.1)는 bovine으로부터 추출한 Sigma사 제품을 사용하였다. 효소의 기질로 사용한 CLN($\text{N}\alpha\text{-CBZ(carbobenzyl oxy)-L-lysine p-nitrophenyl ester HCl}$)과 BANA($\text{N}\alpha\text{-benzoyl-DL-arginine } \beta\text{-naphthylamide}$), 저해효과를 비교검토하기 위하여 저해제로 개발되어진 leupeptin과 우슬의 지표물질인 20-hydroxyecdysone 등의 시약은 Sigma사에서 구입하여 사용하였다.

일반성분, 무기질, 및 사포닌

우슬뿌리의 일반성분은 AOAC방법에 따라 분석하였다(20). 즉 수분함량은 105°C 상압가열건조법, 조지방은 Soxhlet 추출법, 조회분은 건식회화법, 조단백질은 Kjeldahl 법으로 분석하였으며 무기이온 분석은 습식법으로 전처리하였다. 즉 건조시료 1 g 을 질산, 과염소산과 질산액의 혼합액 및 염산을 순차적으로 이용하여 분해시킨 후 일정량으로 희석, 여과한 후 ICP analyzer (GBC integra XMP, Australia)를 사용하여 원자흡광 광도법으로 정량하였다(21). 사포닌함량은 시료분말 5 g을 등근플라스크에 취한 후 70% methanol 100 mL로 80°C 수욕조에서 2시간씩 3회 반복 추출하여 얻은 추출액을 여과지(whatman No. 41)로 여과한 후 8,000 rpm에서 20분간 원심분리하여 상정액을 회수하였다. 이 상정액을 농축하여 증류수로 용해한 다음 분액여두에 옮겨서 diethylether로 탈지시킨 다음 남은 수중에 수포화부탄을 50 mL 씩 3회 반복추출이행 하여 회수, 농축한 것을 조사포닌으로 계산하였다(22).

우슬뿌리 추출물의 용매분획

우슬뿌리는 세척, 건조한 후 분쇄기를 이용하여 분쇄한 뒤 사용하였다. 시료를 메탄올:물(4:1, v/v)의 비율의 용매로 추출한 후 Fig. 1과 같이 용매별로 순차적으로 추출 분획하였다. 얻어진 각각의 추출물들을 감압 농축한 다음 각각의 추출수율(%)을 계산하였다.

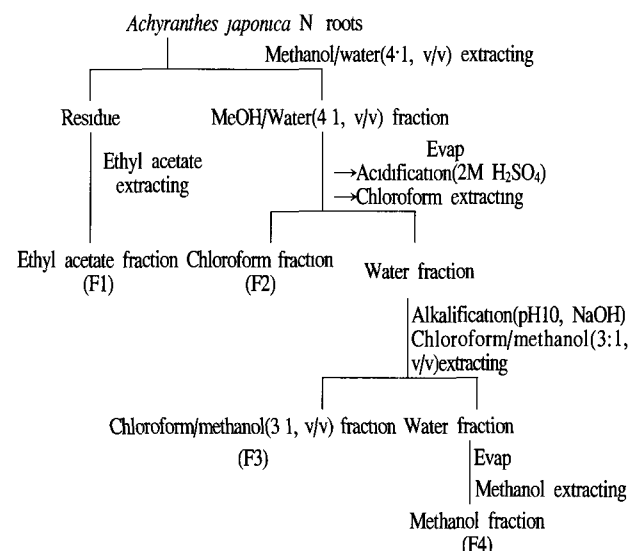


Fig. 1. Isolation and fractionation of *Achyranthes japonica* N. roots.

Cathepsin B 저해물질의 활성도 측정

Cathepsin B 저해물질의 활성도 측정은 Han 등(19)의 방법에 준하여 측정하였다. 즉 분광광도계의 1 mL cuvette내에 25 mM sodium acetate buffer(pH 5.2)에 1 mM EDTA를 녹인 incubation buffer 0.8 mL를 넣고 기질 N α -CBZ-L-Lysine p-nitrophenyl ester HCl(CLN) 5.22 mM을 dimethylsulfoxide에 녹여 사용하였고 N α -benzoyl-DL-arginine- β -naphthylamide(BANA)는 171 mM농도를 n,n-dimethylformamide에 녹여 각 50 μ L를 녹여 반응시켰으며 저해물질 용액은 100 μ L를 취하여 반응시켰다. CLN 기질의 경우 326 nm에서 BANA 기질의 경우 340 nm에서 25°C에 각 반응시간에 따라 반응시킨 후 저해활성의 기울기 $k_0(V_0)$ 을 이용하여 저해활성도를 측정하였다(23). 즉 저해물질이 첨가되지 않은 기질과 효소의 반응을 A, 기질과 효소 그리고 저해물질을 첨가한 반응을 B, 효소가 첨가되지 않은 기질과 저해물질의 반응을 C라고 할 때 저해활성도를 다음 식으로 계산하였다. 이때 쇠무릎추출물의 cathepsin B의 저해활성도를 비교검토하기 위하여 cathepsin B 저해제로 알려진 leupeptin(16)의 일정량을 반응시켜 저해활성을 비교분석하였다.

$$\text{저해활성}(\%) = (\frac{B-C}{A-C}) \times 100$$

Thin-layer chromatography와 High performance liquid chromatography

Cathepsin B 저해활성이 있는 분획이 우슬뿌리에 많이 함유되어 있는 성분인 20-hydroxy ecdysone 물질인지를 확인하기 위하여 Son 등(24) 및 Kim(25)의 방법에 준하여 각 용매로 추출 분획한 추출물을 가지고 silica gel 60F254 TLC plate(20×20 cm, Merck Art. 5642)상에 점적한 후 물질을 확인하였다. 이때 20-hydroxy ecdysone을 전개시킨 용매로는 ethanol/ethylacetate(1:5, v/v)를 사용하였으며 UV 254 nm에서 확인하였다.

TLC에서 band가 확인된 F4분획을 HPLC를 이용하여 다시 우슬뿌리의 지표물질인 20-hydroxy ecdysone의 여부를 재확인 하였다. 이때 사용된 HPLC는 Waters 510(USA) 기기를 이용하였으며 그 분석조건은 Table 1과 같다.

Table 1. Operating conditions of preparative HPLC for analysis of 20-hydroxy ecdysone in *Achyranthes japonica* N. roots

Instrument	HPLC Waters 510
Mobile phase solvent	CH ₃ CN/H ₂ O (18:82, v/v)
Column	Novapak C ₁₈ (3.9×300 mm)
Detector	UV 254 nm
Flow rate	0.75 mL/min,
Injection	10 μL

결과 및 고찰

우슬뿌리의 일반성분 및 무기질함량

우슬뿌리의 일반성분을 분석한 결과는 Table 2와 같다. 세척 건조한 우슬뿌리의 회분 함량은 7.63%이었으며 조단백질은 9.84%, 조지방은 1.32% 그리고 총당함량은 20.65% 이었다. 또한 조사포닌 함량은 31.52%이었다.

Table 2. Proximate composition of *Achyranthes japonica* N. roots

(%, dry basis)				
Ash	Crude protein	Crude lipid	Total carbohydrate	Crude saponin
7.63	9.84	1.32	20.65	31.52

우슬뿌리의 무기질 함량은 Table 3과 같았다. 무기질 중 다량원소로는 칼륨이 주이었으며 칼슘, 마그네슘, 인 순이 있고 미량원소로는 알루미늄, 철, 나트륨 및 봉소 순으로 함유하고 있었다. 이는 Kim(25)이 보고한 바에 의하면 사양토보다는 양토에서, 무피복 재배보다는 흑색비닐 피복재배에서, 수확시기가 빠른 것보다 12월 중순정도로 늦어질수록, 재배 연수가 1년보다는 2년 재배 시 무기질 함량이 더 높게 나타났다고 보고하였다. 이에 본 실험에서 사용한 우슬의 무기질 함량과는 다소 차이가 있었는데 이러한 재배조건에 따라 다소 차이가 있는 것을 알 수 있었으며 무기질

Table 3. Inorganic contents of *Achyranthes japonica* N. roots
(mg %, dry basis)

Macro elements				Minor elements				
K	Ca	Mg	P	Al	B	Fe	Mn	Na
3467	399.4	720.4	161.1	80.18	27.41	68.04	12.42	51.31

함량분포는 거의 비슷한 함량을 보여주었다.

우슬뿌리의 추출용매분획별 수율

충남 부여군 초촌면 일대에서 재배 수확한 우슬 뿌리를 세척 건조한 후 분쇄하여 30 g을 환류냉각기를 부착시킨 플라스크에 넣은 후 시료 중량의 20배의 methanol/water (4:1, v/v) 용매로 추출하여 Fig. 1과 같은 방법으로 추출 분획하여 얻은 용매별 추출물을 감압 농축하여 얻은 추출수율은 Table 4와 같았다.

Table 4. Extraction yield of *Achyranthes japonica* N. roots by fractionation

Fraction ¹⁾	F1	F2	F3	F4
Yield	0.27	0.31	2.97	8.27

¹⁾F1 Ethyl acetate fraction, F2 Chloroform fraction, F3 Chloroform/methanol(3:1, v/v) fraction, F4 Methanol fraction

우슬 뿌리 methanol/water(4:1, v/v) 추출물을 각 용매를 이용하여 순차적으로 분획한 후 수율을 측정한 결과 마지막 단계인 methanol 분획에서 수율이 8.27%로 가장 높았으며 다음으로 chloroform/methanol(3:1, v/v) 분획에서 2.97%로 수율이 높았다.

분획별 추출물의 Cathepsin B에 대한 저해활성도 측정

각각 용매로 추출한 분획별 추출물을 0.1 %의 비율로 buffer에 용해한 후 cathepsin B에 대한 저해 활성도를 측정한 결과 Fig. 2와 같다. F4인 methanol 분획에서 cathepsin B에 대한 저해활성이 가장 높게 나타났으며 다음으로 F1인 ethyl acetate 분획, F3인 chloroform/methanol(3:1, v/v) 분획에서 cathepsin B에 대한 저해활성이 나타났는데 chloroform 분획에서는 오히려 cathepsin B에 대한 저해활성보다는 촉진효과가 나타났다. 이는 분획물 자체가 정제된 단일물질이 아니어서 그 분획물 내에 cathepsin B에 대한 활성을 억제 및 촉진하는 인자가 존재하고 있는 것으로 생각되며 이는 앞으로 더 연구해볼 필요가 있다고 생각된다.

Thin-layer chromatography와 High performance liquid chromatography

우슬에 많이 들어있는 지표물질인 20-hydroxy ecdysone

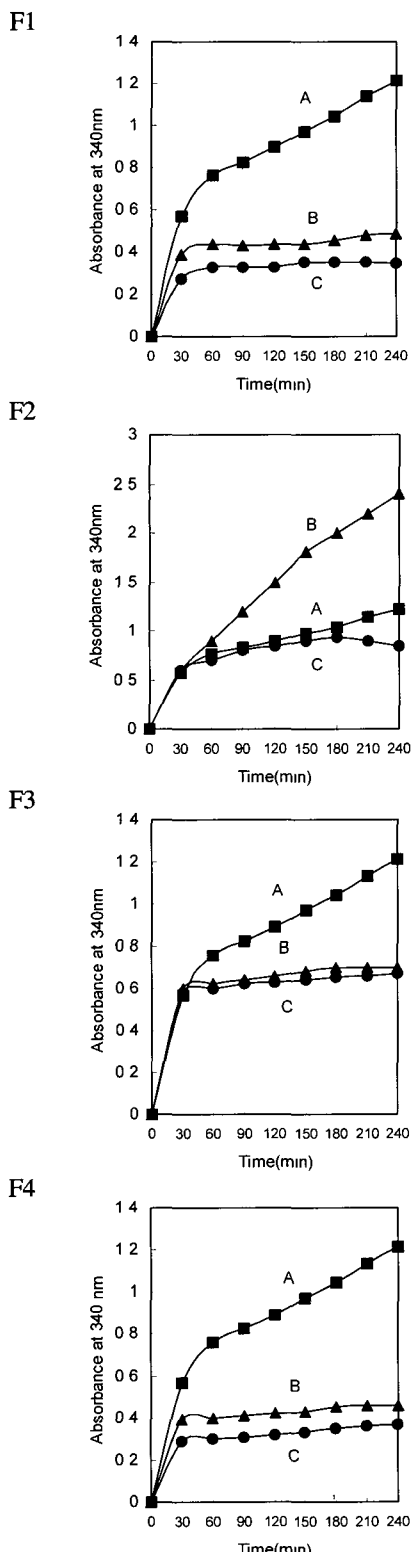


Fig. 2. Effects of extracts of *Achyranthes japonica* N. roots by fractionation on cathepsin B using a substrate, N α -benzoyl-DL-arginine β -naphthylamide(BANA).

A(■), the absence of extracts, B(▲), the presence of extracts; C(●), the absence of cathepsin B
 F1 . Ethyl acetate fraction, F2 Chloroform fraction, F3 Chloroform/methanol(3 1, v/v) fraction, F4 Methanol fraction

(24, 25)이 어느 분획에서 많이 검출되는지를 확인하기 위하여 순차별로 얻어진 각 분획을 TLC plate에 전개시킨 결과 Fig. 3과 같다. 전개용매를 ethanol/ethyl acetate(1:5, v/v)를 사용하여 20-hydroxy ecdysone만을 전개시킨 결과 UV 254 nm에서 Rf 0.44에서 표준물질과 같은 band가 F4 분획에서 뚜렷하게 확인되었으며 F3 분획에서도 미비하게 나타나는 것이 확인되었다.

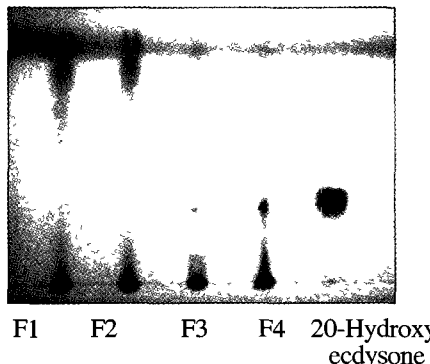


Fig. 3. TLC chromatogram of extract of *Achyranthes japonica* N. roots by fractionation.

F1, F2, F3 and F4 are the same as in Fig. 2

TLC에서 우슬의 지표물질이 다량 함유된 fraction 4를 HPLC로 분석한 결과 Fig. 4와 같이 RT가 19.65에서 20-hydroxy ecdysone의 peak와 같은 peak를 확인할 수 있었으며 우슬에 함유되어 있는 20-hydroxy ecdysone 함량이 약 0.33%정도이었다. 이는 Son 등(24)이 우슬이 약재로서 지표물질을 0.07%이상 함유하고 있어야 한다고 보고한 것에 비하면 상당히 높은 량을 보였다. 또한 Kim(25)이 재배 방법별, 재배 년수별 및 수확시기별에 따라 그 함량이 차이가 있다는 것을 보고한 것에 의하면 우슬에서의 주요성분의 함량은 재배조건에 따라서 그 함량이 큰 차이를 보이고 있음을 알 수 있었으며 본 실험에 사용된 우슬은 지표물질의 함량이 상당히 높았음을 알 수 있었다.

20-hydroxy ecdysone의 Cathepsin B에 대한 저해활성도 측정

우슬의 지표물질인 20-hydroxy ecdysone의 cathepsin B에 대한 저해활성을 나타내는지를 확인하기 위하여 BANA와 CLN을 기질로 하여 cathepsin B에 대한 저해활성을 측정하였으며 이를 F4추출물과 cathepsin B 저해물질인 leupeptin과 함께 그 활성을 비교한 결과 Fig. 5와 같다. 20-hydroxy ecdysone, leupeptin 및 우슬 추출분획인 F4 모두가 기질을 BANA로 사용하였을 경우 cathepsin B에 대한 저해력이 80%이상을 보였지만 CLN을 기질로 하였을 경우는 낮은 저해력을 보였다. 기질이 BANA일 경우 leupeptin은 92%, 20-hydroxy ecdysone은 88% 그리고 우슬 추출분획 F4에서는 97%가 나타났으며 기질이 CLN일 경우는 leupeptin

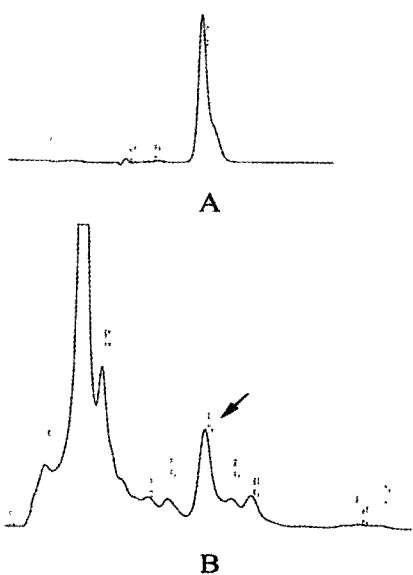


Fig. 4. HPLC chromatogram of extract of *Achyranthes japonica* N. roots by fractionation.

A 20-Hydroxy ecdysone, B Fraction 4 of *Achyranthes japonica* N root extract.

은 62%, 20-hydroxy ecdysone은 36% 그리고 우슬 추출분획 F4에서는 67%가 나타났다. 이는 Bajkowski 등(23)의 보고에 의하면 cathepsin B는 BANA보다 CLN인 기질에서 더 높은 활성을 보여주는 것은 BANA기질은 ester결합을 하고 있고 CLN기질은 amide결합을 하고 있어 그 결합 차이에 따른 것으로 보고하고 있는 것으로 보아 cathepsin B의 저해 활성을 촉진 또는 상승시킬 수 있는 인자가 부수적으로 관여할 수 있음을 시사하고 있다고 사료된다.

이상의 결과로 볼 때 우슬의 지표물질인 20-hydroxy ecdysone은 cathepsin B에 대한 저해력을 어느 정도 가지긴 하지만 F1분획과 같은 농도의 20-hydroxy ecdysone를 함유한 우슬 추출분획인 F4에서 cathepsin B에 대한 저해력이 더 높은 것을 볼 때 우슬 뿌리 추출물이 cathepsin B에 대한 저해활성이 높아 예로부터 관절염 예방 및 치료에 우슬을 한약재로 사용하였을 경우 효과가 있었을 것으로 생각되며 또한 이 우슬 지표물질이 관절염 예방의 주된 원인 물질이 아니고 또 다른 물질이 관여함을 알 수 있었다. 이에 현재까지 보고된 것들 중 cathepsin B에 대한 저해력이 높은 물질들을 미생물 배양 시 생산되는 물질로부터 분리한 연구들(13, 16, 17, 19, 24)과 난백으로부터 저해물질로 분리 보고한 cystatin 등(15)의 구조 분석 결과를 살펴본바 대부분이 질소를 함유한 염기성 유기화합물인 알칼로이드류 물질로 나타난 것으로 미루어 보아 본 실험에서 용매별 순차 분획한 분획 중 F4 분획물이 알칼로이드 물질 분리 분획인 것으로 볼 때 20-hydroxy ecdysone이외에 질소를 함유한 알칼로이드 물질이 관여할 것으로 생각되어 추가적인 연구가 수행되어야 할 것으로 판단된다.

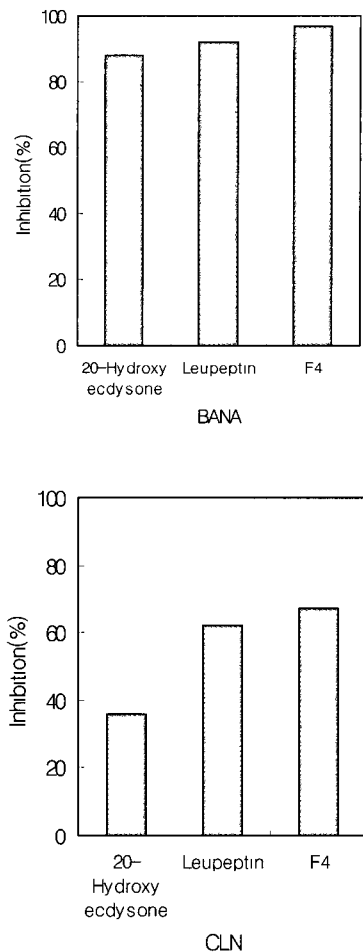


Fig. 5. Inhibition of hydrolysis between cathepsin B and N α-CBZ-L-lysine p-nitrophenyl ester HCl(CLN), N α-benzoyl-DL-arginine β-naphthylamide(BANA) substrates on 20 -hydroxy ecdysone, leupeptin and fraction 4 of *Achyranthes japonica* N. root extract.

20-hydroxy ecdysone and leupeptin of 10 mg/mL were used, F4 was used at the same concentration of 20-hydroxy ecdysone
F4 was the same as in Fig 2

요 약

우슬이 민간요법으로 관절염 치료에 우수한 한약재로 알려진 바 우슬 추출물이 cathepsin B에 대한 저해력을 검토하기 위하여 각종 용매로 우슬 추출물을 순차 분획하고 분획 추출물에 대하여 cathepsin B에 대한 저해활성을 검토 하였으며 우슬의 지표물질인 20-hydroxy ecdysone이 추출 분획에 검출되는지 TLC 및 HPLC를 이용하여 분석 하였으며 우슬의 지표물질이 cathepsin B에 대한 저해활성여부를 확인한바 다음과 같은 결과를 얻었다. 우슬 뿌리에 대해 methanol/water(4:1, v/v) 추출물을 ethyl acetate, chloroform, chloroform/methanol(3:1, v/v), methanol의 각 용매로 분획한 결과, 분획 F4(methanol 분획)에서 수율이 가장 높아

8.27%를 나타내었다. 각 분획별에 따라 cathepsin B에 대한 저해활성을 측정한 결과 F4분획물에서 가장 저해활성이 높았으며 F1분획에서도 높은 저해활성을 나타내었다. F4 분획물 중 우슬의 지표물질인 20-hydroxy ecdysone이 검출되었으며 우슬에 함유되어있는 함량은 0.33%이었다. 20-hydroxy ecdysone에 대하여 cathepsin B저해활성을 보기 위하여 cathepsin B저해활성제로 알려진 leupeptin과 활성을 비교해본 결과 기질을 BANA로 사용하였을 경우 leupeptin은 저해율이 92%인데 비하여 20-hydroxy ecdysone은 88%이었으며 F4분획물은 97%를 나타내었고 기질을 CLN으로 사용하였을 경우 leupeptin은 저해율이 62%인데 비하여 20-hydroxy ecdysone은 36%이었으며 F4 추출물은 67%를 나타내었다.

참고문헌

- 육창수 (1990) 원색한국약용식물도감. 아카데미서적. p.175
- Hahn, D.R. and Lee, M.W. (1991) Studies on the constituents of *Achrantis Radix* (I) oleanolic acid bisdesmoside from the roots. *Yakhak Hoeji*, 35, 457-460
- Ogawa, S.N., Nishimoto, N. Okamoto and Takemoto, T. (1971) Studies on the constituents of *Achyranthis Radix*(VIII). The insect-moultling substances in *Achyranthes* genus. *Yakugaku Zasshi*, 91, 916-920
- Sun, S.P., Li, K.H. and Sun, S.S. (1985) Pharmacological studies on *Achyranthes bidentata*. *Hanan Trad Chin. Med.*, 47, 39-40
- 이승택, 채영암 (1996) 약용작물재배. 향문사. 서울, p.159-1625
- 박인현, 이상래, 이상득, 송원섭 (1993) 약용식물재배. 선진문화사 서울, p.281-283
- Entou, Y.M. (1997) 牛膝 および 牛膝 關聯 植物の 成分 研究. 昭和大碩士論文, p.1-44
- De Duve, C. (1969) In "Lyosomes in Biology and Pathology" J. T. Dingle and H. B. Fell, eds, North-Holland Publ., Amsterdam. 1, p.3-42
- Ebert, W., Knoch, H., Werle, B., TRenz, G., Muley, T. and Spiess, E. (1994) Prognostic value of increased lung tumor tissue cathepsin B. *Cancer Res.*, 14, 895-900
- Lenny, J.F. (1980) Inhibitors associated with the proteinases of mammalian cells and tissues. *Curr. Top. Cell. Regul.*, 17, 25-57
- Sloane B.F., Moin, K., Krepela, E. and Rozhin, J. (1990) Cathepsin B and its endogenous inhibitors:role in tumor malignancy. *Cancer Metastasis Rev.*, 9, 333-352
- Duffy, M. J. (1996) Protease as Prognostic markers in cancer. *Clin. Cancer Res.*, 2, 613-618
- Han, K.H. and Kim, S.D. (1997) Selection and identification of a strain KT-10 producing the cathepsin B inhibitor. *J. Microbiol. Biotechnol.*, 7, 333-340
- Barret, A.J., Davies, M.E. and Grubb, A. (1984) The place of human gamma-trace(cystatin C) amongst the cysteine proteinase inhibitors. *Biochem. Biophysical Res. Commun.*, 120, 631-636
- Engh, R.A., Dieckmann, W.T., Bode, E., Auerswald, A.V., Huber, R. Turk, and Oschkinat, H. (1993) Conformational variability of chicken cystatin. Comparison of structures determined by X-ray diffraction and NMR spectroscopy. *J. Mol. Biol.*, 234, 1060-1069
- Aoyagi, T., Takeuchi, T., Matsuzaki, T., Kawamura, K., Kondo, S., Hamada, M., Maeda, K. and Umezawa, H. (1969) Leupeptins, new protease inhibitor isolated from *Actinomycetes*. *J. Antibiot.*, 22, 283-286
- Suda, H., Aoyagi, T., Hamada, M., Takeuchi, T. and Umezawa, H. (1972) Antipain, new protease inhibitor isolated from *Actinomycetes*. *J. Antibiot.*, 25, 263-266
- Sreedharan, S.K., Verma, C.L., Caves, S.D. and Brocklehurst, S.M. (1966) Demonstration that 1-trans-epoxysuccinyl-L-leucylamido-(4-guanidino)butane(E-64) is one of the most effective low inhibitors of trypsin-catalysed hydrolysis. Characterization by kinetic analysis and by energy minimization and molecular dynamics simulation of the E-64-β-trypsin complex. *J. Biochem.*, 316, 777-786
- Han, K.H. and Kim, S.D. (2001) Isolation and characterization of cathepsin B inhibitor produced by *Streptomyces leuteogriseus* KT-10. *Korean J. Appl. Microbiol. Biotechnol.*, 29, 84-89
- A.O.A.C. (1995) Official Method of Analysis(16th Edition) Association of Official Analytical Chemist, Washington, D.C.
- Perkin-Elmer Corporation. (1968) Analytical Methods for Atomic Absorption Spectroscopy, Perkin-Elmer Corp. Norwalk, Comm.
- 김찬호, 김만옥, 최강주, 손현주, 고성룡, 김석창, 위재준, 허정남 (1991) 인삼성분분석법. 한국인삼연초연구소, 13-18
- Bajkowski, A.S. and Frankfater, A. (1975) Specific spectrophotometric assays for cathepsin B Anal. *Biochem.*, 68, 119-127
- Son, K.H., Hwang, J.H., Lee, S.H., Park, J.H., Kang, S.J., Chang, S.Y. and Lee, K.S. (1999) Isolation and Quantitative determination of 20-Hydroxyecdysone from

- Achyranthes radix.* Korean J. Pharmacogn., 30, 335-339
25. Kim, M.S. (2003) A study on optimal cultivation conditions

of medicinal components in *Native Achyranthes japonica*
N. Ph. D. Thesis. Chonnam National University, p.21-24

(접수 2005년 3월 21일, 채택 2005년 5월 20일)